

# 中甸矿集区普朗-红山铜多金属成矿亚带北段帕纳牛场斑岩体<sup>40</sup>Ar—<sup>39</sup>Ar 年龄及锑矿化

李文昌<sup>1,2</sup>, 尹光候<sup>1</sup>, 刘学龙<sup>2</sup>, 卢映祥<sup>1</sup>, 许东<sup>1</sup>, 曹晓民<sup>1</sup>, 张世权<sup>1</sup>, 杨舒然<sup>3</sup>

(1. 云南省地质调查局, 云南 昆明 650051; 2. 昆明理工大学, 云南 昆明 650093; 3. 中国地质大学, 北京 10083)

[摘要] 普朗-红山铜多金属成矿亚带北部帕纳牛场辉锑矿床与石英二长斑岩(热液)及断裂有关。斑岩黑云母<sup>40</sup>Ar—<sup>39</sup>Ar 坪年龄和等时线年龄分别为 199.1±1.3 Ma 和 199.2±2.4 Ma, 代表了与辉锑矿化对应的斑岩的侵位时间, 是该成矿亚带上目前获得石英二长斑岩中<sup>40</sup>Ar—<sup>39</sup>Ar 最年轻的新年龄值, 代表了义敦岛弧普朗-红山铜多金属成矿亚带存在燕山早期的构造-岩浆活动。在印支晚期主要形成斑岩型-夕卡岩型铜多金属矿床之外, 燕山早期还具有斑岩及至少与斑岩有关的热液脉状成矿作用-锑矿化, 预示了本区斑岩的一种新的成矿作用和找矿方向与前景。

[关键词] 石英二长斑岩 辉锑矿化 <sup>40</sup>Ar—<sup>39</sup>Ar 年龄 成(矿)岩时代 中甸帕纳牛场

[中图分类号] P597+P618.66 [文献标识码] A [文章编号] 0495-5331(2010)02-0267-05

Li Wen-chang, Yin Guang-hou, Liu Xue-long, Lu Ying-xiang, Xu Dong, Cao Xiao-ming, Zhang Shi-quan, Yang Shu-ran. <sup>40</sup>Ar—<sup>39</sup>Ar ages and antimony mineralization of the Pananniuuchang porphyry in the Zhongdian area of Yunnan Province [J]. Geology and Exploration, 2010, 46(2): 0267-0271.

中甸矿集区位于义敦三叠纪岛弧南端的中甸弧, 是我国重要的斑岩型铜多金属矿产基地之一, 并分雪鸡坪-阿热、普朗-红山铜多金属和休瓦促-沙都格勒钨钼 3 个成矿亚带<sup>①</sup>。帕纳牛场斑岩体及辉锑矿矿床位于普朗-红山铜多金属成矿亚带北段, 该成矿亚带通常产出普朗大型铜矿床, 浪都、红山等中型铜矿床及松诺、则庸-面切、地苏嘎、沃迪措、欠虽、卓玛等铜矿点, 受印支期壳幔型中酸性斑(玢)岩控制, 沿斑(玢)岩带轴脊附近, 形成斑岩型铜矿床, 两侧形成矽卡岩型铜多金属矿床。其斑岩和成矿及其时代等方面, 尤其是印支期而言, 前人作了大量矿床地质、物化探异常及矿床成因等研究(刘增乾等, 1993; 叶庆同等, 1992; 侯增谦等, 2001, 2002; 曾普胜等, 2003, 2006; 杨岳清等, 2002; 李文昌等, 2007)。而帕纳牛场辉锑矿矿床则为该亚带较为唯一独特的矿种, 规模达中型, 因锑矿及其含矿斑岩体出露规模小等原因, 针对本矿床的成岩成矿条件、辉锑矿化与斑岩关系, 斑岩的成岩年龄等方面的研究十分薄弱。

因此, 笔者通过项目野外和室内工作基础上, 测定了与帕纳牛场锑矿有关的石英二长斑岩的<sup>40</sup>Ar—<sup>39</sup>Ar 年龄, 显示该区燕山早期有斑岩活动及相关锑成矿作用。

## 1 矿区地质概况

帕纳牛场锑矿区出露上三叠统图姆沟组二段( $T_3 t^2$ ), 由砂板岩夹中-酸性火山岩构成(图 1), 板岩中含双壳类 Halobiasuoerbescens - H. steiaca 组合带化石(尹光候等, 2005), 并夹多层火山岩, 岩性以变质安山岩、蚀变杏仁状玄武安山岩、蚀变英安岩、蚀变流纹岩等<sup>②</sup>。侵入岩仅见黑云石英二长斑岩岩枝, 即为含矿母岩, 呈一椭圆形, 出露面积 0.06 km<sup>2</sup>。黑云石英二长斑岩呈中细粒半自形粒状结构, 块状构造, 由斜长石(43%), 粒径 0.3~0.5 mm, 自形斑状, 具韵律环带构造, 黑云母(24%), 粒径 0.2~0.35 mm, 自形鳞片状, 钾长石(25%), 石英(8%), 副矿物见磷灰石、榍石等。岩石具黝帘石

[收稿日期] 2009-08-13; [修订日期] 2010-02-05 [责任编辑] 陈喜峰。

[基金项目] 国家科技支撑课题“三江”中南段铜、铅锌、金、多金属矿床综合勘查评价技术研究”(2006BAB01A07), 973 项目“巨型矿床形成保存及资源潜力”(2009CB421007)资助。

[作者简介] 李文昌(1963—), 男, 2007 年毕业于中国地质大学(北京), 获博士学位, 教授级高级工程师, 博士生导师, 长期从事地质矿产勘查与管理, E-mail:ygh571008@yahoo.com.cn。

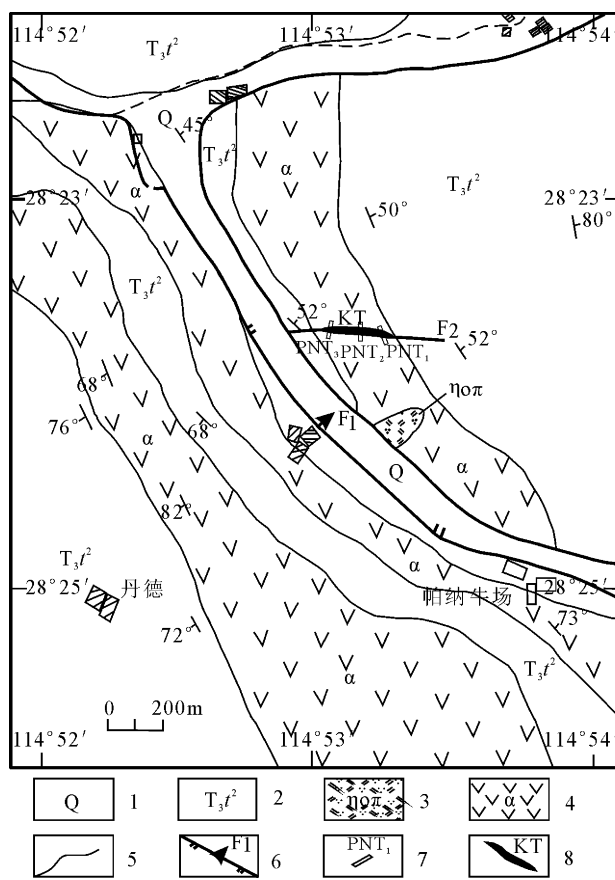


图 1 帕纳牛场锑矿区及外围地质略图<sup>③</sup>

Fig. 1 Simplified geological map of the stibnite deposit at Pananniuchang and surroundings (modified from<sup>③</sup>)

1—第四系残坡积层;2—上三叠统图姆沟组二段;3—石英二长斑岩;4—安山岩;5—地质界线;6—断层及编号;7—探槽及编号;8—锑矿体

1—hillside waste of Quaternary; 2—the second member of Tumugou Formation; 3—quartz monzonite—porphyry; 4—andesite; 5—geological confines; 6—faults and number; 7—trench exploration and number; 8—stibnite orebody

化、绢云母化、绿泥石化,具有一般斑岩成矿条件(吕伯西等,1993;祝新友等,2000),但是,该岩体含有另类(锑)矿化。

矿区褶皱为亚拉夏向斜之次级构造:丹德背斜,呈北西向展布,核部为安山岩、变质砂岩、粉砂质绢云板岩,两翼为变质砂岩、粉砂质绢云板岩。沿轴部附近有黑云石英二长斑岩出露。断裂发育有两组,即北西向地苏嘎断裂( $F_1$ )及近东西向的 $F_2$ 断裂(图1)。 $F_1$ 属控岩构造,长>4.2 km,为逆断层。 $F_2$ 为控矿构造,长约1 km。倾向北,倾角30~60°,构造形迹明显,形成厚0.7~18 m的构造角砾岩,角砾成分为安山岩,大小不一,被硅、泥质胶结,辉锑矿呈网脉状、团块状产于角砾间。

该区化探异常为Pb、Zn组合(Sb成矿未引起重视,故未分析),异常区Pb平均含量 $176.33 \times 10^{-6}$ ,最高 $253 \times 10^{-6}$ ,面积 $0.75 \text{ km}^2$ ,Zn平均含量 $359 \times 10^{-6}$ ,最高 $506 \times 10^{-6}$ ,面积 $0.50 \text{ km}^2$ 。规模达1.3NAP。指示该区具有找矿意义。

## 2 帕纳牛场斑岩锑矿化特征

围绕黑云石英二长岩体,围岩具角岩化,沿 $F_2$ 断裂构造角砾岩及其两侧安山岩产生硅化、绢英岩化蚀变,并伴黄铁矿化、辉锑矿化。褶皱和断裂发育,断裂控制了矿(化)体的产出(图1)。

**角岩化:**靠近岩体的轻变质碎屑岩发生重结晶,形成坚硬致密的接触变质岩,岩石类型有长英质角岩、角岩化粉砂质绢云板岩。

**绢英岩化:** $F_2$ 断裂中构造角砾岩及其两侧安山岩中的石英次生加大和发生重结晶,斜长石发生绢云母化。

**硅化:** $F_2$ 断裂构造角砾岩中之安山岩角砾,石英次生加大和发生重结晶,形成致密状石英集合体。

**黄铁矿化:**在矿(化)体带及其两侧安山岩中,黄铁矿呈细粒浸染状和细脉状产出,黄铁矿粒径0.1~0.3 mm,含量约1~3%。

**辉锑矿(化)体**产于黑云石英二长岩体围岩硅化安山岩中,长约350 m,宽1~8 m。辉锑矿呈细脉状、网脉状及斑团状产出,局部呈块状,可见长柱状晶体、放射状晶簇,锑含量最高27.58%,平均13.82%。

## 3 帕纳牛场斑岩体 $^{40}\text{Ar}-^{39}\text{Ar}$ 同位素年龄

### 3.1 $^{40}\text{Ar}-^{39}\text{Ar}$ 同位素测年方法

用于 $^{40}\text{Ar}-^{39}\text{Ar}$ 同位素测年的PND272S黑云母样品采自帕纳牛场石英二长斑岩坑道中。样品通过粉碎筛选、重选后在显微镜下挑选,纯度在99%以上并用超声波清洗。清洗后的样品被密封进石英瓶中送核反应堆中接受中子照射。照射工作是在中国原子能科学研究院的“游泳池堆”中进行,使用B4孔道,中子流密度约为 $2.54 \times 10^{13} \text{ n cm}^{-2} \text{ S}^{-1}$ 。照射总时间为2880 min,积分中子通量为 $4.39 \times 10^{18} \text{ n cm}^{-2}$ ;同期接受中子照射的还有用做监控的标准样:ZBH-25黑云母标样,其标准年龄为 $132.7 \pm 1.2 \text{ Ma}$ ,K含量为7.6%。

样品的阶段升温加热使用石墨炉,每阶段加热30 min,净化30 min。质谱分析是在多接收惰性气体质谱仪Helix MC上进行,每个峰值均采集20组数

据。所有数据在回归到时间零点值后再进行质量歧视校正、大气氩校正、空白校正和干扰元素同位素校正。中子照射过程中所产生的干扰同位素校正系数通过分析照射过的  $K_2SO_4$  和  $CaF_2$  来获得,其值为:  
 $(^{36}Ar/^{37}Ar)_o = 0.0002389$ ,  $(^{40}Ar/^{39}Ar)_K = 0.004782$ ,  $(^{39}Ar/^{37}Ar)_o = 0.000806$ 。<sup>37</sup>Ar 经过放射性衰变校正;<sup>40</sup>K 衰变常数  $\lambda = 5.543 \times 10^{-10}$  年<sup>-1</sup>;用 ISOPLOT 程序计算坪年龄及正、反等时线(Ludwig, v2.49, 2001)。坪年龄误差以  $2\sigma$  给出(陈文等, 2002; 张彦等, 2006)。

### 3.2 黑云母<sup>40</sup>Ar-<sup>39</sup>Ar 同位素分析结果

帕纳牛场石英二长斑岩中黑云母样品阶段升温数据见表1,在从 500~1400°C 区间内,获得 11 个阶段的升温数据,并得到一条未受到明显扰动的<sup>40</sup>Ar-<sup>39</sup>Ar 年龄谱线如图 2-a,受核反冲作用和测量误差的影响,在谱线的左侧和右侧出现了 2 个较低的视年齡值  $107.7 \pm 3.7$  Ma 和  $179.6 \pm 1.8$  Ma,其有效坪年齡为  $199.1 \pm 1.3$  Ma。在<sup>40</sup>Ar-<sup>36</sup>Ar 对<sup>9</sup>Ar-<sup>36</sup>Ar 图 2-b 中,8 个加热阶段的数据构成一条相关性极好的直线,相关系数为 0.9985,其对应的等时线年齡为  $199.2 \pm 2.4$  Ma 与坪年齡保持一致。此外,由该图可知<sup>40</sup>Ar-<sup>39</sup>Ar 的初始比值为  $293.6 \pm 4.9$  Ma 与尼尔值  $295.5 \pm 5$  Ma 基本一致,说明在测试过程中样品中没有过剩 Ar 的存在,由此断定 199 Ma 是帕纳牛场石英二长斑岩结晶(形成)的年齡。

### 4 <sup>40</sup>Ar-<sup>39</sup>Ar 同位素年齡区域对比与锑矿化

普朗-红山铜多金属成矿亚带,位于中甸弧东部斑岩带<sup>①</sup>,呈 NW 展布,岩体分布较为分散。石英

二长斑岩的年齡在中南部红山一带的斑岩枝,近年来矿床勘探(钻探)发现隐伏岩体<sup>③</sup>,斑岩枝<sup>④</sup>的 Rb-Sr 等时线年齡为 214 Ma;浪都斑岩体(曾普胜等, 2003)的黑云母单矿物的<sup>40</sup>Ar-<sup>39</sup>Ar 坪年齡为  $216.93 \pm 4.34$  Ma;普朗复式斑岩体中石英二长斑岩的黑云母 K-Ar 表面年齡  $221.5 \sim 235.4$  Ma,<sup>40</sup>Ar-<sup>39</sup>Ar 坪年齡(曾普胜等, 2004, 2007)  $213 \sim 216$  Ma,最近新获角闪石、黑云母<sup>40</sup>Ar-<sup>39</sup>Ar 年齡  $209 \sim 212$  Ma(李文昌等, 2009),这组年齡值相差不大,结合野外地质背景考虑,东斑岩带主体应为晚三叠世诺利期(Norian),延续至燕山早期。此次恰好弥补了该带北部含另类(锑)矿化斑岩体缺少的同位素年齡。

### 5 结论

(1) 本次用于测试的石英二长斑岩样品较新鲜,含辉锑矿化,但蚀变较弱,具绢云母化及硅化。因此,199 Ma 基本代表了帕纳牛场石英二长斑岩形成的年齡,属燕山早期。是普朗-红山铜多金属成矿亚带上目前获得石英二长斑岩<sup>40</sup>Ar-<sup>39</sup>Ar 最新的年齡值,代表义敦岛弧普朗-红山铜多金属成矿亚带存在燕山早期的构造-岩浆活动,其成岩(矿)作用可能延续到燕山早期。此外,东部斑岩带还有燕山晚期二长花岗(斑)岩侵入,休瓦促岩体  $83 \pm 1$  Ma,热林岩体(李建康等, 2007; 尹光候等, 2009)  $81.2 \pm 2.3$  Ma。三者构成了印支晚期-燕山早期-燕山晚期连续斑岩及成矿序列。对再认识本区地质、成矿演化历史和找矿方向具有重要意义。

(2) 帕纳牛场锑矿是普朗-红山铜多金属成矿亚带之上目前唯一独特的一个锑矿床,并与石英二

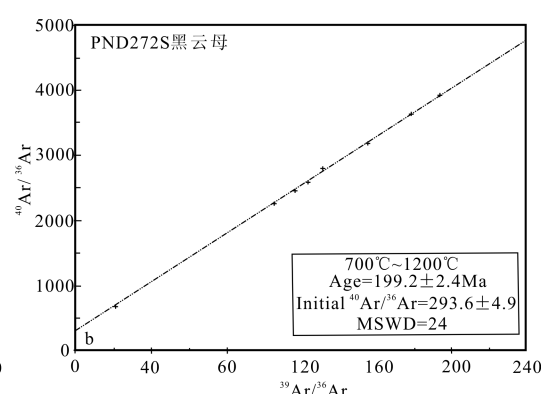
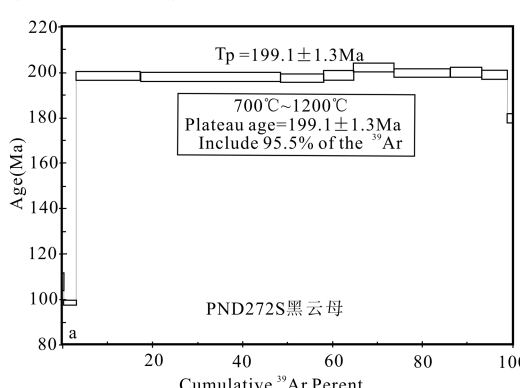


图 2 普朗帕纳牛场石英二长斑岩黑云母<sup>40</sup>Ar-<sup>39</sup>Ar 坪年齡及等时线年齡

Fig. 2 <sup>40</sup>Ar-<sup>39</sup>Ar stepwise heating age separate (a) and isochron ages (b) of sericite separated from quartz-monzonite porphyry at Pananniuchang in Pulang area

表 1 普朗帕纳牛场石英二长斑岩黑云母样品<sup>40</sup>Ar-<sup>39</sup>Ar 阶段加热升温分析数据  
**Table 1** <sup>40</sup>Ar-<sup>39</sup>Ar incremental heating analytical data on biotite separated from quartz-monzonite porphyry at Pananniuchang

T (°C)	( <sup>40</sup> Ar/ <sup>39</sup> Ar) <sub>m</sub>	( <sup>36</sup> Ar/ <sup>39</sup> Ar) <sub>m</sub>	( <sup>37</sup> Ar/ <sup>39</sup> Ar) <sub>m</sub>	( <sup>38</sup> Ar/ <sup>39</sup> Ar) <sub>m</sub>	<sup>40</sup> Ar (%)	F	<sup>39</sup> Ar ( $10^{-14}$ mol)	<sup>39</sup> Ar (Cum. %)	Age (Ma)	±1 (Ma)
( PND272S 黑云母 ) W=49.69mg J=0.006239 总平均年龄 = 195.7 Ma										
500	167.5812	0.5338	0.2736	0.1154	5.88	9.8577	0.14	0.29	107.7	3.7
600	43.5158	0.1168	0.2097	0.0362	20.69	9.0037	1.26	2.98	98.6	1.0
700	33.1022	0.0490	0.0773	0.0224	56.29	18.6340	6.71	17.29	198.4	1.9
800	21.0056	0.0081	0.0276	0.0145	88.58	18.6079	14.50	48.23	198.1	1.9
860	21.1061	0.0086	0.0213	0.0145	87.95	18.5640	4.55	57.94	197.7	1.9
920	21.4548	0.0095	0.0232	0.0146	86.93	18.6509	3.17	64.71	198.6	1.9
980	21.2627	0.0076	0.0522	0.0144	89.39	19.0076	4.12	73.51	202.2	1.9
1040	20.4135	0.0056	0.0663	0.0139	91.86	18.7529	5.90	86.09	199.6	1.9
1100	20.2981	0.0052	0.1426	0.0140	92.47	18.7709	3.33	93.20	199.8	1.9
1200	20.5547	0.0067	0.9247	0.0145	90.72	18.6612	2.67	98.90	198.7	1.9
1400	19.9715	0.0111	1.0436	0.0155	83.93	16.7769	0.52	100.00	179.6	1.8

注: 表中标有 m 脚码的数值为实测比值, W 为所测样品重量, J 为样品在核反应堆中的照射参数。

长斑岩有关的斑岩型锑矿种, 与三江地区花岗岩类及其成矿专属性(吕伯西等, 1993)有出入, 但矿化至少与矿床与斑岩期后热液及断裂关系密切, 支持斑岩型成矿的广泛性, 如最新研究斑岩含铂、钯矿等(王敏芳等, 2009)。围绕斑岩体具角岩化, 在 F<sub>2</sub> 断裂构造角砾岩, 外围岩石中发育硅化及绢英岩化, 相伴黄铁矿和辉锑矿化, 表明义敦岛弧在印支期晚期-燕山早期的盆-山转化、弧-陆碰撞等演过程中, 主要形成支期期、燕山期斑岩型-矽卡岩型铜多金属矿床(李建康等, 2007; 尹光候等, 2009)之外, 在晚期(<199 Ma)还具有斑岩成矿系列中, 至少与斑岩有关的晚期热液脉状矿化作用-锑矿化, 因而, 揭示了本区斑岩新的一种成矿作用, 以及一种新的找矿方向, 具有较好的前景。

#### [注释]

- ① 云南省地质调查局. 2009. 西南“三江”云南段重大找矿疑难问题研究(内部,未出版)
- ② 云南省地质矿产局第三地质大队. 1999. 1:50000 红山幅区调说明书
- ③ 云南省地质调查院. 2008. 中甸地区铜矿资源评价(内部)修改
- ④ 谭雪春,曾群望,苏文宁. 1985. 滇西东部斑岩和斑岩铜矿(内部)

#### [References]

- Chen Wen, Liu Xin-yu, Zhang Si-hong. 2002. Continuous laser step-wise heating <sup>40</sup>Ar-<sup>39</sup>Ar dating technique[J]. Geological Review, 48(supplement): 127-134 (in Chinese with English abstract)
- Hou Zeng-qian, Qu Xiao-ming, Zhou Ji-hong, Yang Yue-qing, Huang Dian-hao, Lü Qing-tian, Tang Shao-hua, Yu Jin-jie, Wang Hai-ping, Zhao Jin-hua. 2001. Collision-Orogenic processes of the Yidun arc in the Sanjiang region: record of granites[J]. Acta Geologica Sinica, 75(4): 484-497
- Hou Zeng-qian, Yang Yue-qing, Qu Xiao-ming, Huang Dian-hao, Lü Qing-tian, Wang Hai-ping, Yu Jin-jie, Tang Shao-hua. 2004. Tectonic evolution and mineralization systems of the Yidun orogen in Sanjiang region, China[J]. Acta Geologica Sinica, 78(1): 110-119

Liu Zeng-qian, Li Xing-zhen, Ye Qing-tong, Luo Jia-ning, Sen Gang-fu. 1993. Division of tectono-magmatic zones and the distribution of deposits in the Sanjiang area [M]. Beijing: Geological Publishing House (in Chinese); 18-68

Lü Bo-xi, Wang Zeng, Zhang Neng-de, Duan Jian-zhong. 1993. Granitoid in the Sanjiang region (Nujiang-Lancangjiang-Jinsha Jiang region) and their metallogenetic specialization [M]. Beijing: Geological Publishing House (in Chinese with English abstract); 1-108

Li Jian-kang, Li Wen-chang, Wang Deng-hong, Lu Ying-xing, Yin Guang-hou, Xue Shun-rong. 2007. Re-Os dating for ore-forming event in the late of Yanshan Epoch and research of ore-forming regularity in Zhongdian Arc[J]. Acta petrologica Sinica, 23(10): 2415-2422

Li Wen-chang, Zeng Pu-shen. 2007. Characteristics and metallogenetic model of the Pulang superlarge porphyry copper deposit in Yunnan [J]. Journal of Chengdu University of Technology (Science & Technology Edition), 8(11): 436-446

Li wen-chang, Yin guan-ghou, Lu ying-xiang, Liu xue-long, Xu dong, Zhang shi-quan, Zhang na. 2009. The evolution and <sup>40</sup>Ar-<sup>39</sup>Ar isotopic pulang iomplex in Zhongdian[J]. Acta Geologica Sinica, 83(10): 1421-1429

Wang Min-fang, Deng Xiao-dong, Bi Shi-jian. 2009. A study on the enrichment of Pt and Pd in the Fengshan porphyry Cu-Mo deposits [J]. Chronology and Exploration, 45(2): 38-43

Ye Qing-tong, Hu Yun-zhong, Yang Yue-qing. 1992. Regional geochemical background and gold, silver, and lead-zinc mineralization in Sanjiang Region [M]. Beijing: Geological Publishing House (in Chinese); 12-57

Yang Yue-qing, Hou Zeng-qian, Huang Dian-hao, Qu Xiao-ming. 2002. Collision orogenic process and magmatic metallogenetic system in Zhongdian Arc[J]. Acta Geoscientia Sinica, 23(1): 17-24

Yin Guang-hou, Liu Xing, Deng Zhi-xiang, Xiao Ling. 2005. Analysis of the Late Triassic sediment and basin of Wucun-Yishan area in Zhongdian, Yunnan[J]. Yunnan Geology, 24(1): 58-66

Yin Guan-ghou, Li Wen-chang, Jiang Cheng-xiang, Li Jan-kang, Xu Dong, Yang Shu-ran. 2009. The evolution of Relin upex rock masses in Yanshan Phase and Ar-Ar dating age and copper-molybde-

- num mineralization characteristics of Zhongdian volcanic-magma arc [J]. Chronology and exploration, 45(3):385-395
- Zhu Xin-you, Wang Dong-po, Wang Shu-lai. 2000. On the mineralization Condition of Large In West Kunlun Mountain [J]. Chronology and Exploration, (5):42-46
- Zeng Pu-sheng, Mo Xuan-xue, Yu Xue-hui, Hou Zeng-qian, Xu Qi-dong, Wang Hai-ping, Li Hong and Yang Chao-zhi. 2003. Porphyries and porphyry copper deposit in Zhongdian area, northwestern Yunnan [J]. Mineral Deposits, 22(4):394-400
- Zeng Pus-sheng, Hou Zeng-qian, Li Li-hui, Qu Wen-jun, Wang Haiping, Li Wen-changa, Meng Yi-feng, Yang Zhu-sen. 2004. Age of Pulang porphyry copper deposit in NW Yunnan and its geological significance [J]. Geological Bulletin of China, 23(11):1127-1131
- Zhang Yan, Chen Wen, Chen Ke-long, Liu Xin-yu. 2006. Study on the Ar-Ar age spectrum of diagenetic I/S and the mechanism of <sup>39</sup>Ar recoil loss examples from the clay minerals of P-T boundary in Changxing, Zhejiang Province [J]. Geological Review, 52(4):556-561
- Zeng Pu-sheng, Li wen-chang, Wang Hai-ping, Li Hong. 2006. The Indosian Pulang superlarge porphyry copper deposit in Yunnan, China: Petrology and chronology [J]. Acta petrologica Sinica, 22(4):989-1000
- [附中文参考文献]
- 陈文,刘新宇,张思红. 2002. 连续激光阶段升温<sup>40</sup>Ar/<sup>39</sup>Ar地质年代测定方法研究[J]. 地质论评, 第48卷, 增刊:127-134
- 侯增谦,曲晓明,周继荣,杨岳清,黄典豪,吕庆田,唐绍华,余金杰,王海平,赵金花. 2001. 三江地区义敦岛弧碰撞造山过程:花岗岩记录[J]. 地质学报, 75(4):484-497
- 侯增谦,杨岳清,曲晓明,黄典豪,吕庆田,王海平,余金杰,唐绍华. 2004. 三江地区义敦岛弧造山带演化和成矿系统[J]. 地质学报, 78(1):110-119
- 刘增乾,李兴振,叶庆同,罗建宁,沈敢富. 1993. 三江地区构造岩浆带的划分和矿产分布规律[M]. 北京,地质出版社, 18-68
- 吕伯西,王增,张能德,段建中. 1993. 三江地区花岗岩类及其成矿专属性[M]. 北京,地质出版社, 1-108
- 李建康,李文昌,王登红,卢映祥,尹光候,薛顺荣. 2007. 中甸弧燕山晚期成矿事件的Re-Os定年及成矿规律研究[J]. 岩石学报, 23卷(10):2415-2422
- 李文昌,曾普胜. 2007. 云南普朗超大型斑岩铜矿特征及成矿模型[J]. 成都理工大学学报(自然科学版), 8(11):436-446
- 李文昌,尹光候,卢映祥,刘学龙,许东,张世权,张娜. 2009. 中甸普朗复式斑岩体演化及<sup>40</sup>Ar-<sup>39</sup>Ar同位素依据[J]. 地质学报, 83卷(10):1421-1429
- 王敏芳,邓晓东,毕诗健. 2009. 丰山斑岩铜(钼)矿床中铂、钯的富集特征研究[J]. 地质与勘探, 45(2):38-43
- 叶庆同,胡云中,杨岳清. 1992. 三江地区区域地球化学背景和金银铅锌成矿作用[M]. 北京,地质出版社, 12-57
- 杨岳清,侯增谦,黄典豪,曲晓明. 2002. 中甸弧碰撞造山作用和岩浆成矿系统[J]. 地球学报, 23(1):17-24
- 尹光候,刘星,邓志祥,肖玲. 2005. 云南中甸五村-移山晚三叠世沉积及盆地特征[J]. 云南地质, 24(1):58-66
- 尹光候,李文昌,蒋成兴,李建康,许东,杨舒然. 2009. 中甸火山-岩浆弧燕山期热林复式岩体演化与Ar-Ar定年及铜钼矿化[J]. 地质与勘探, 45(4):385-395
- 祝新友,汪东坡,王书来. 2000. 新疆西昆仑地区大型铜矿成矿条件分析[J]. 地质与勘探, (5):42-46
- 曾普胜,莫宣学,喻学惠,侯增谦,徐启东,王海平,李红,杨朝志. 2003. 滇西北中甸斑岩及斑岩铜矿[J]. 矿床地质, 22(4):394-400
- 曾普胜,侯增谦,李丽辉,屈文俊,王海平,李文昌,蒙义峰,杨竹森. 2004. 滇西北普朗斑岩铜矿床成矿时代及其意义[J]. 地质通报, 23(11):1127-1131
- 张彦,陈文,陈克龙,刘新宇. 2006. 成岩混层(I/S)Ar-Ar年龄谱型及<sup>39</sup>Ar核反冲丢失机理研究—以浙江长兴地区P-T界线粘土岩为例[J]. 地质论评, 52(4):556-561
- 曾普胜,李文昌,王海平,李红. 2006. 云南普朗印支期超大型斑岩铜矿床:岩石学及年代学特征[J]. 岩石学报, 22(4):989-1000

## <sup>40</sup>Ar-<sup>39</sup>Ar Ages and Antimony Mineralization of the Pananniuchang Porphyry in the Zhongdian Area of Yunnan Province

LI Wen-Chang<sup>1,2</sup>, YIN Guang-Hou<sup>1</sup>, LIU Xue-Long<sup>1,2</sup>, LU Ying-Xiang<sup>1</sup>, XU Dong<sup>1</sup>, CAO Xiao-Ming<sup>1</sup>, ZHANG Shi-Quan<sup>1</sup>, YANG Shu-Ran<sup>3</sup>

(1. Yunnan Institute of Geological Survey, Kunming 650051; 2. Kunming University of Science and Technology, Kunming 650093; 3. China University of Geosciences, Beijing 100083)

**Abstract:** The stibnite deposit at the Panan cattle farm in the north of Pulang-Hongshan copper polymetallic metallogenetic sub-belt is associated with beschtauite (hydrothermal) and faults. The <sup>40</sup>Ar-<sup>39</sup>Ar plateau age and isochron age of the blackmica in porphyry are 199.1±1.3Ma and 199.2±2.4Ma, which represent the emplacement time of porphyry corresponding to stibnite metallization. These ages are the youngest ones of <sup>40</sup>Ar-<sup>39</sup>Ar of beschtauite in the Pulang-Hongshan copper polymetallic metallogenetic sub-belt, which indicate that in this sub-belt of the Yidun arc existed early Yanshanian tectono-magmatic activities. In late Indo-China epoch, porphyry-skarn copper polymetallic deposit formed in this area, moreover in early Yanshanian time there was also porphyry deposit formed, as well as hydrothermal vein mineralization related with porphyry. They indicate a new metallogenesis of porphyry, exploration direction and prospect in this region.

**Key words:** quartz monzonite-porphyry, stibnite mineralization, <sup>40</sup>Ar-<sup>39</sup>Ar age, petrogenic(mineralization) age, Pananniuchang Zhongdian